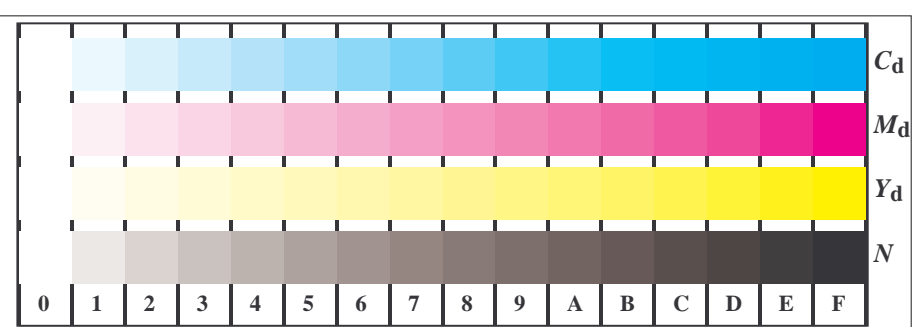
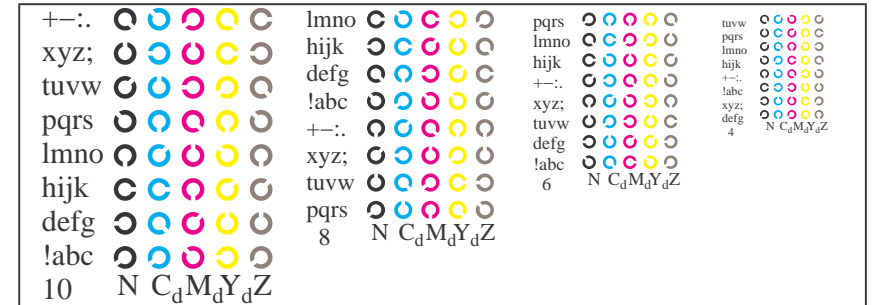




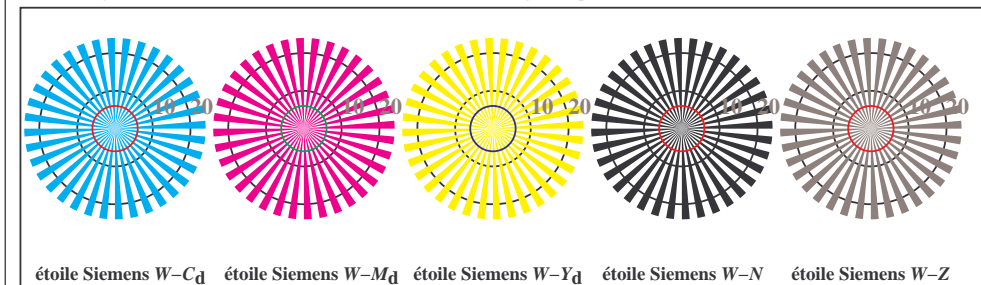
TF960-3, Fig. B1Wd: le motif fleuri, 14 CIE test couleurs et 2 + 16 gris étapes (nf); ; PS 4 colorimage



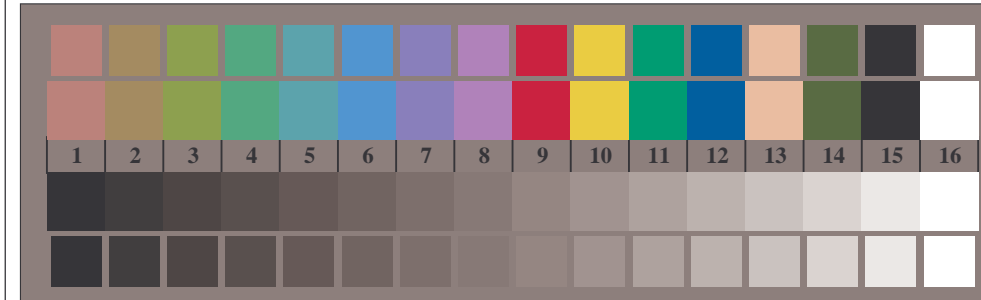
TF961-1, Fig. B4Wd: 16 paliers équidistants $W-C_d$; $W-M_d$; $W-Y_d$; $W-N$; $rgb/cmy0 \rightarrow rgb_d$ setrgbcolor



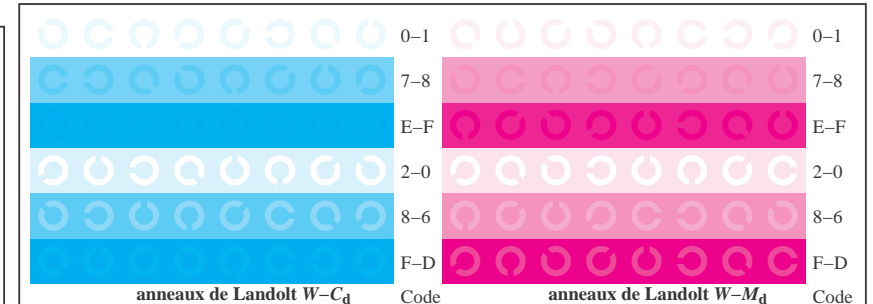
TF961-3, Fig. B5Wd: code et anneau de Landolt N; C_d ; M_d ; Y_d ; Z; PS opérateur: $rgb \rightarrow rgb_d$ setrgbcolor



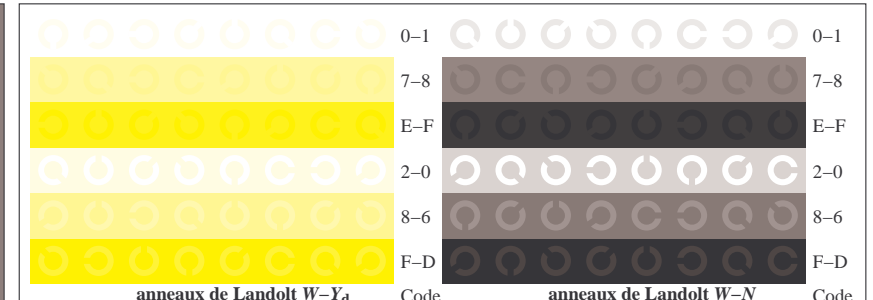
TF960-5, Fig. B2Wd: étoile de Siemens $W-C_d$; $W-M_d$; $W-Y_d$; $W-N$; PS opérateur: $rgb \rightarrow rgb_d$ setrgbcolor



TF960-7, Fig. B3Wd: 14 CIE test couleurs et 2 + 16 paliers de gris (sf); PS opérateur: $rgb/cmy0 \rightarrow rgb_d$ setrgbcolor



TF961-5, Fig. B6Wd: anneaux de Landolt $W-C_d$; $W-M_d$; PS opérateur: $rgb \rightarrow rgb_d$ setrgbcolor



TF961-7, Fig. B7Wd: anneaux de Landolt $W-Y_d$; $W-N$; PS opérateur: $rgb \rightarrow rgb_d$ setrgbcolor